

ระบบควบคุมอุณหภูมิและความชื้นโดยใช้ เทอร์โมอิเล็กทริก

A Temperature and Humidity Control System Using Thermoelectric Material

คมสัน มุยสี เมธี ลิมกุล มงคล มงคลวงศ์โรจน์

ห้องปฏิบัติการเครื่องกลไฟฟ้า สำนักวิจัยการสื่อสารและเทคโนโลยีสารสนเทศ ภาควิชาวิศวกรรมเครื่องกล คณะวิศวกรรมศาสตร์
สถาบันเทคโนโลยีพระจอมเกล้าเจ้าคุณทหารลาดกระบัง

K. Muysse, M. Limkul, M. Mongkolwongroj

Electro-Mechanical Engineering Lab, ReCCIT, Mechanical Engineering Department, Faculty of Engineering

King Mongkut's Institute of Technology Ladkrabang, Thailand

บทคัดย่อ

สมรรถนะของอุปกรณ์เทอร์โมอิเล็กทริก และ ระบบที่ใช้อุปกรณ์ดังกล่าว ปัจจุบันเทคโนโลยีทางด้านอุปกรณ์เทอร์โมอิเล็กทริกและศักยภาพทางด้านการตลาดของอุปกรณ์เหล่านี้ได้กลายเป็นสิ่งที่น่าสนใจ บทความนี้เป็นงานนำเสนอเกี่ยวกับการพัฒนาระบบควบคุมอุณหภูมิและความชื้นในสภาวะที่ความชื้นสัมพัทธ์สูงๆโดยการใช้อุปกรณ์เทอร์โมอิเล็กทริก

ระบบควบคุมประกอบด้วยการทำงานเย็นและการทำความร้อนด้วยอุปกรณ์เทอร์โมอิเล็กทริกและใช้ตัวกำเนิดความชื้นในการควบคุมอุณหภูมิและความชื้นสัมพัทธ์ ซึ่งระบบนี้เป็นระบบป้อนกลับที่มีเป้าหมายสำหรับเพิ่มประสิทธิภาพและประหยัดพลังงาน ซึ่งจะมีเหมาะสมมากในระบบควบคุมอุณหภูมิและความชื้นสัมพัทธ์ที่ต้องใช้เวลาในการเข้าสู่สภาวะที่ต้องการ ซึ่งการนำเสนอของระบบนี้จะเป็นวิธีการทำการควบคุมระบบรวมเพื่อให้ได้ระบบที่เหมาะสมที่สุดและประสิทธิภาพที่ดี ในการทดลองนี้จะแสดงถึงประสิทธิภาพและผลการทดลองในรูปของสภาวะที่ต้องการและการเปลี่ยนแปลงของอุณหภูมิและความชื้นของระบบควบคุมที่ใช้อุปกรณ์เทอร์โมอิเล็กทริก

Abstract

Performances of thermoelectric materials and systems that utilize them became more interesting in the technology and potential new markets. This paper presents the development of a temperature and humidity control system specially for high humidity environmental conditions using thermoelectric devices.

The system consists of multiple cooling and/or heating thermoelectric devices and a steam generator in order to be able to control both temperature and humidity. The feedback control was proposed for performance enhancement and energy saving. It is very suitable for temperature and humidity control system that has time delay. The implementation of control approach to

optimize the overall control and obtain an enhanced and robust performance. The performance analysis and experimental results show the practicability of the proposed system and its viability in the real temperature and humidity control system using thermoelectric devices

1. บทนำ

ปัจจุบันในประเทศไทยมีการใช้ระบบทำความเย็นกันอย่างแพร่หลายและสามารถพบเห็นได้ทั้งในระดับครัวเรือนจนถึงระดับอุตสาหกรรมขนาดใหญ่ โดยเฉพาะอุตสาหกรรมที่เกี่ยวข้องกับอาหารหรือการเกษตรรวมถึงการถนอมอาหาร ระบบทำความเย็นถือเป็นส่วนหนึ่งของการใช้พลังงานไฟฟ้าภายในประเทศซึ่งมีแนวโน้มสูงขึ้นตลอดเวลา ซึ่งอุปกรณ์ทำความเย็นภายในประเทศเกือบทั้งหมดใช้คอมเพรสเซอร์แบบอัดไอและใช้สารทำความเย็น คือ คลอโรฟลูออโรคาร์บอน เมื่อระบบเกิดการรั่วไหลเข้าสู่บรรยากาศจะทำให้เกิดผลกระทบต่อสิ่งแวดล้อมเนื่องจากการทำลายโอโซนชั้นบรรยากาศทำให้เกิดปรากฏการณ์เรือนกระจก[1] เทคโนโลยีหนึ่งที่น่าสนใจคือการนำเอาเทคโนโลยีเทอร์โมอิเล็กทริกเข้ามาใช้แทนระบบอัดไอ ซึ่งมีข้อดีคือระบบทำความเย็นแบบเทอร์โมอิเล็กทริกจะอยู่ในสภาวะของแข็ง (Solid state) ไม่มีการเปลี่ยนแปลงสถานะ ไม่ใช้สารทำความเย็นจึงไม่ทำลายสภาวะแวดล้อม ไม่จำเป็นต้องมีการซ่อมบำรุง และยังมีอายุการใช้งานที่ยาวนาน [3] การทำความเย็นด้วยเทอร์โมอิเล็กทริกมีการใช้อย่างกว้างขวาง เช่น การทำความเย็นให้กับตู้โดยสารรถไฟ [4] เรือเดินสมุทร [5] รถถังทางการทหาร [6] การแช่แข็งน้ำผลไม้ [7] การศึกษาการทำความเย็นบนผ้าเปดานโดยใช้เทอร์โมอิเล็กทริก[8] เพื่อหลีกเลี่ยงปัญหาดังกล่าวแนวทางการแก้ไขจึงนำเทอร์โมอิเล็กทริก มาประยุกต์ใช้ในการควบคุมสภาวะอากาศซึ่งอุปกรณ์เทอร์โมอิเล็กทริกเป็นอุปกรณ์อิเล็กทรอนิกส์ชนิดหนึ่งที่สามารถใช้สร้างความร้อนและความเย็นได้เพียงแค่อจ่ายกระแสไฟฟ้าให้กับอุปกรณ์ ด้วยข้อดีคือ ใช้พลังงานน้อย

เป็นอุปกรณ์ขนาดเล็ก มีน้ำหนักเบา ไม่มีเสียงดังขณะทำงาน ไม่ทำลายสิ่งแวดล้อม เป็นต้น งานวิจัยชิ้นนี้จะศึกษาระบบการควบคุมสภาวะอากาศภายในกล่องทดลองด้วยเทอร์โมอิเล็กทริกและตัวกำเนิดความชื้น ซึ่งมีขนาดภายใน ขนาด 7x10x7 in³ แล้วทำการทดลอง เพื่อพิจารณาความเป็นไปได้ในการพัฒนาต่อไป

2. การสร้างแบบจำลองทางคณิตศาสตร์ของระบบควบคุมอุณหภูมิและความชื้น

ในบทความวิจัยนี้ได้ฟังก์ชันถ่ายโอนเป็นระบบอันดับที่หนึ่ง

$$g_{i,j}(s) = \frac{Ke^{Ts}}{1 + \tau s} \quad (1)$$

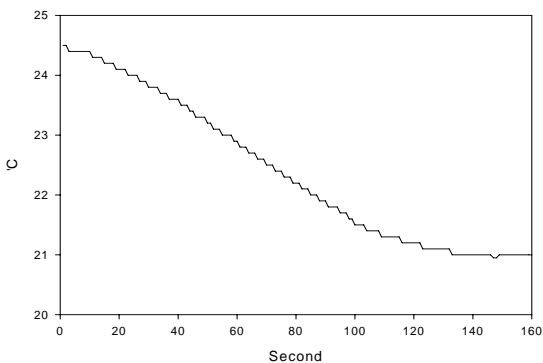
, $i = 1, 2$
 $j = 1, 2$

ที่ K = อัตราขยายของระบบ

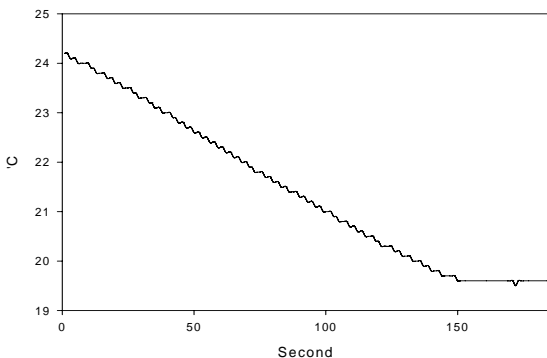
τ = ค่าคงที่ทางเวลาของระบบ (time constant)

e^{Ts} = พจน์ประวิงเวลา (delay time)

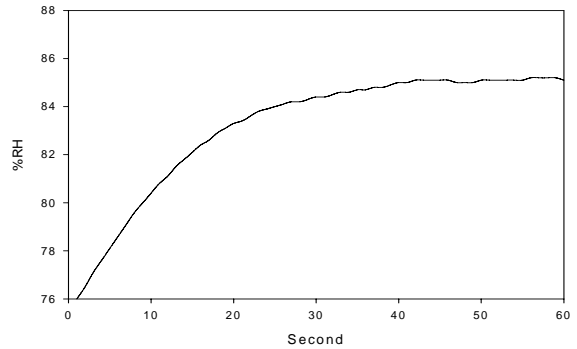
ในการหาแบบจำลองของระบบควบคุมอุณหภูมิและความชื้นจะใช้ Graph การตอบสนองของแบบจำลองภายใต้ input step function ดังแสดงในรูปที่ 1, 2, 3 และ 4 ตามลำดับ



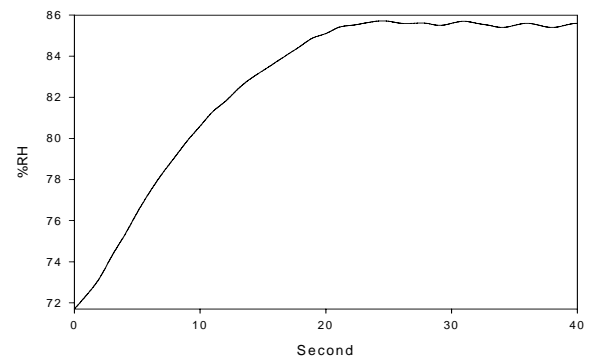
รูปที่1 แสดงการตอบสนองต่ออินพุตแบบอิมพัลส์ ของg11 ที่ 37% $\tau = 82$ s



รูปที่2 แสดงการตอบสนองต่ออินพุตแบบอิมพัลส์ ของg12 ที่ 37% $\tau = 84$ s



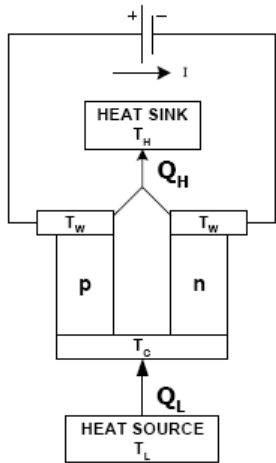
รูปที่3 แสดงการตอบสนองต่ออินพุตแบบอิมพัลส์ ของg21 ที่ 63% $\tau = 17$ s



รูปที่4 แสดงการตอบสนองต่ออินพุตแบบอิมพัลส์ ของg22 ที่ 63% $\tau = 11$ s

3. เทอร์โมอิเล็กทริกและการถ่ายเทความร้อน

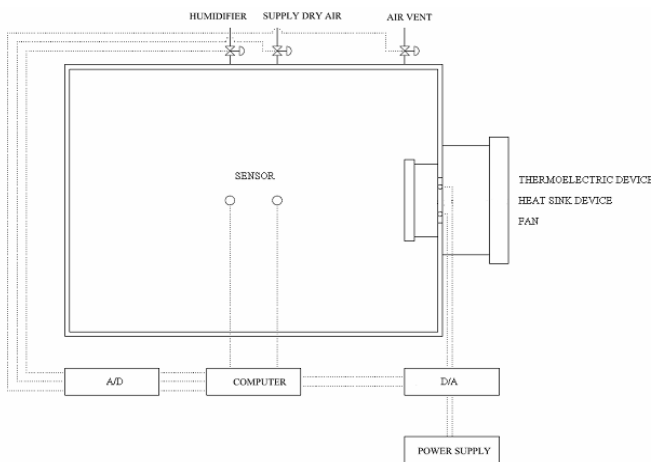
ในปี ค.ศ.1834 ฌอง ซี. เอ. เพลเทียร์ (Jean C. A. Peltier) นักวิทยาศาสตร์ชาวฝรั่งเศส พบว่าเมื่อผ่านไฟฟ้ากระแสตรงให้กับรอยต่อของสารกึ่งตัวนำสองด้านจะกลายเป็นผิวร้อน(hot surface) และผิวเย็น (cold surface) ขึ้นกับทิศทางการไหลของกระแสไฟฟ้า ปรากฏการณ์นี้เรียกว่า ปรากฏการณ์เพลเทียร์ (Peltier effect) ในทางกลับกันถ้าถ่ายเทความร้อนให้กับผิวด้านหนึ่งจะเกิดแรงดันไฟฟ้าขึ้นเรียกว่า ซีเบ็คโวลต์เตจ (Seebeck voltage) สารกึ่งตัวนำดังกล่าวเรียกว่า p-n junctions แสดงดังรูปที่5 โดยที่การผลิตกระแสไฟฟ้าจะต่อแบบอนุกรม การทำความเย็นจะต่อแบบขนานแซนวิชระหว่างแผ่นฉนวนเซรามิก อุปกรณ์อิเล็กทรอนิกส์ที่อาศัยหลักการของปรากฏการณ์เพลเทียร์ซึ่งจัดเป็นปั๊มความร้อน(heat pump) เรียกว่าเทอร์โมอิเล็กทริก



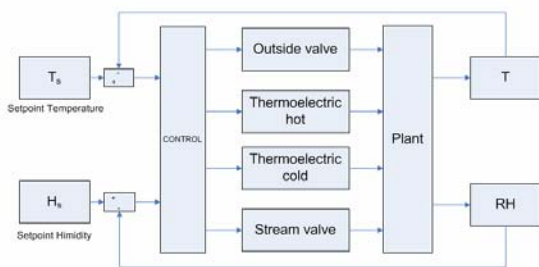
รูปที่ 5 หลักการทำงานเย็นด้วยเทอร์โมอิเล็กทริก

4. ระบบควบคุมอุณหภูมิและความชื้น

ระบบที่ใช้ในการทดลองประกอบด้วยอุปกรณ์ เทอร์โมอิเล็กทริก และ เครื่องให้กำเนิดไอน้ำ และ คอมพิวเตอร์เพื่อใช้ในการควบคุม อุณหภูมิและความชื้นดังแสดงในรูปที่ 6 อุณหภูมิและความชื้นของ อากาศในกล่องควบคุมถูกเปลี่ยนแปลงโดยการทำความเย็นหรือทำ ความร้อนและลดความชื้นหรือเพิ่มความชื้น การควบคุมอุณหภูมิทำได้ โดยการเปลี่ยนแปลงกระแสไฟฟ้าผ่านเข้าอุปกรณ์เทอร์โมอิเล็กทริกส่วน การควบคุมความชื้นทำได้โดยการเปลี่ยนแปลงองศาของวาล์วควบคุม อัตราการไหลของไอน้ำ ดังรูปที่ 7



รูปที่ 6 กล่องควบคุมอุณหภูมิและความชื้น



รูปที่ 7 แผนผังการควบคุมอุปกรณ์

5. แบบจำลองทางคณิตศาสตร์ของระบบ

จากรูปที่ 6 ได้ทำการเก็บข้อมูลจากการทดลองเพื่อหาแบบจำลอง ทางคณิตศาสตร์ของระบบควบคุมอุณหภูมิและความชื้นแบบการ ควบคุมหลายตัวแปร โดยการเปลี่ยนแปลงความร้อนและความชื้น แล้ว บันทึกค่าอุณหภูมิและความชื้น จะได้แบบจำลองทางคณิตศาสตร์ อันดับหนึ่งมีเทอมการหน่วงเวลา ในรูปเมตริกซ์ทรานเฟอร์ฟังก์ชันดัง สมการที่ (2) และทรานเฟอร์ฟังก์ชันของระบบดังสมการ (3), (4), (5), (5), (6)

$$\begin{Bmatrix} T(s) \\ RH(s) \end{Bmatrix} = \begin{bmatrix} g_{11} & g_{12} \\ g_{21} & g_{22} \end{bmatrix} \begin{Bmatrix} V(s) \\ Q(s) \end{Bmatrix} \quad (2)$$

$$g_{11} = \frac{1.75e^{-0.062s}}{1 + 82s} \quad (3)$$

$$g_{12} = \frac{911.58e^{-0.0002s}}{1 + 84s} \quad (4)$$

$$g_{21} = \frac{7.08e^{-0.062s}}{1 + 17s} \quad (5)$$

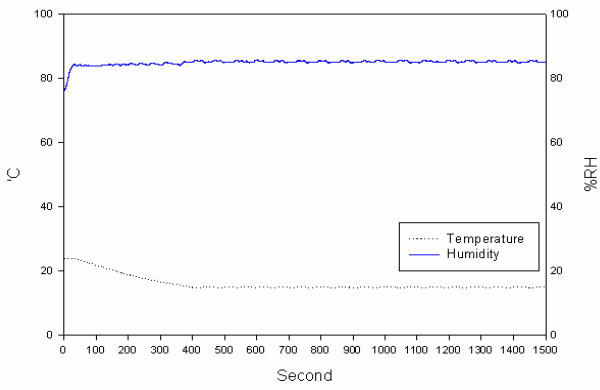
$$g_{22} = \frac{3874.2e^{-0.0002s}}{1 + 11s} \quad (6)$$

- $T(s)$ = อุณหภูมิที่กำหนด
- $RH(s)$ = ความชื้นที่กำหนด
- $V(s)$ = สัญญาณควบคุมการปรับเปลี่ยน โวลต์เตจ
- $Q(s)$ = สัญญาณควบคุมการปรับเปลี่ยนอัตราการไหลของไอน้ำ

6. ผลการทดลอง

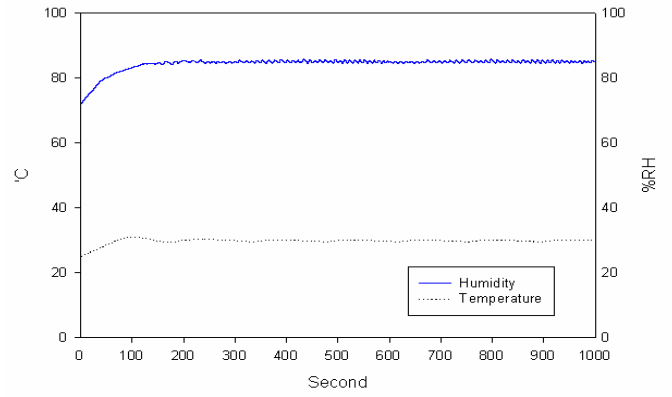
งานวิจัยนี้ได้แสดงการออกแบบและพัฒนาระบบควบคุมอุณหภูมิ และความชื้นโดยใช้เทอร์โมอิเล็กทริก ผลการทดลองได้แสดงการ ตอบสนองของอุณหภูมิและความชื้นที่สภาวะต่างๆดังแสดงในรูปที่ 8 ถึงรูปที่ 13. รูปที่ 8 แสดงผลของอุณหภูมิและความชื้นของระบบควบคุม โดยกำหนดอุณหภูมิและความชื้นที่ 15°C 85%RH สภาวะเริ่มต้นที่ 24°C และ 74%RH ใช้เวลาการตอบสนองของอุณหภูมิและความชื้นเข้าสู่สภาวะคงตัวเท่ากับ 410 และ 380 วินาที ตามลำดับ ค่าความคลาดเคลื่อนสูงสุดใ้ในสภาวะคงตัว $\pm 0.2^{\circ}C$ และ $\pm 0.6\%RH$ ในการ ทดลองเมื่อค่า set point อยู่ที่ 15°C และ 90%RH โดยสภาวะเริ่มต้นที่ 24°C และ 74%RH เวลาของการตอบสนองของอุณหภูมิและความชื้น เข้าสู่สภาวะคงตัวอยู่ที่ 422 และ 410 วินาที ค่าความคลาดเคลื่อนอยู่ที่ $\pm 0.1^{\circ}C$ และ $\pm 0.4\%RH$ ตามลำดับ ดังแสดงในรูปที่ 9. ที่สภาวะ เริ่มต้น 24°C และ 74%RH เวลาการตอบสนองของอุณหภูมิและ

15°C - 85%RH



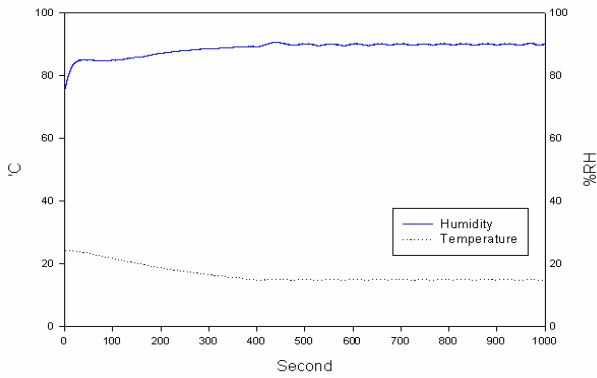
รูปที่ 8 ผลการตอบสนองของอุณหภูมิและความชื้นที่ 15°C 85%RH

30°C - 85%RH



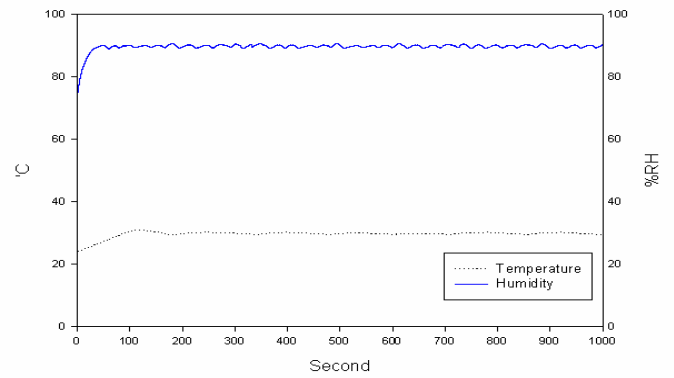
รูปที่11 ผลการตอบสนองของอุณหภูมิและความชื้นที่ 30°C 85%RH

15°C - 90%RH



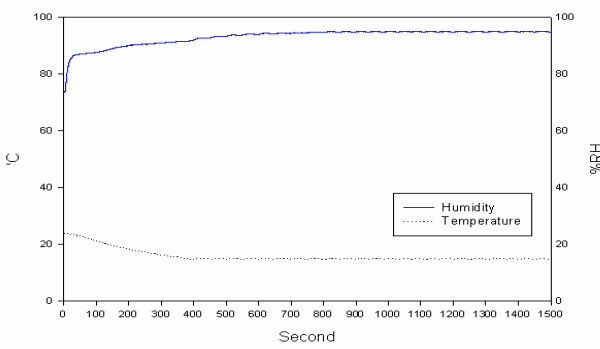
รูปที่9 ผลการตอบสนองของอุณหภูมิและความชื้นที่ 15°C 90%RH

30°C - 90%RH



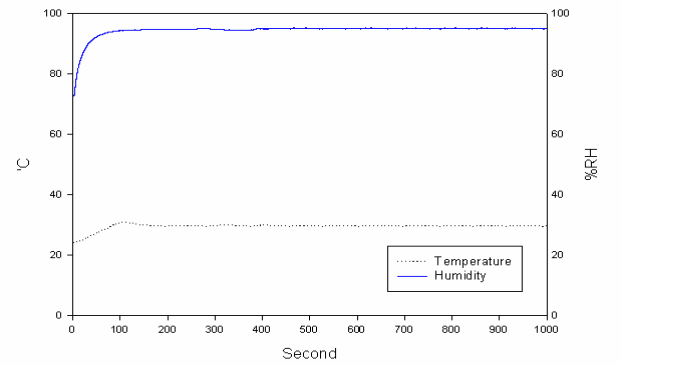
รูปที่12 ผลการตอบสนองของอุณหภูมิและความชื้นที่ 30°C 90%RH

15°C - 95%RH



รูปที่ 10 ผลการตอบสนองของอุณหภูมิและความชื้นที่ 15°C 95%RH

30°C - 95%RH



รูปที่13 ผลการตอบสนองของอุณหภูมิและความชื้นที่ 30°C 95%RH

24⁰C และ 74%RH ใช้เวลาการตอบสนองของอุณหภูมิและความชื้นเข้าสู่สภาวะคงตัวเท่ากับ 410 และ 380 วินาที ตามลำดับ ค่าความคลาดเคลื่อนสูงสุดในสภาวะคงตัว $\pm 0.2^{\circ}C$ และ $\pm 0.6\%RH$ ในการทดลองเมื่อค่า set point อยู่ที่ 15⁰C และ 90%RH โดยสภาวะเริ่มต้นที่ 24⁰C และ 74%RH เวลาของการตอบสนองของอุณหภูมิและความชื้นเข้าสู่สภาวะคงตัวอยู่ที่ 422 และ 410 วินาที ค่าความคลาดเคลื่อนอยู่ที่ $\pm 0.1^{\circ}C$ และ $\pm 0.4\%RH$ ตามลำดับ ดังแสดงในรูปที่ 9. ที่สภาวะเริ่มต้น 24⁰C และ 74%RH เวลาการตอบสนองของอุณหภูมิและความชื้นเข้าสู่สภาวะคงตัวที่ 434 และ 671 วินาที ค่าความคลาดเคลื่อนอยู่ที่ $\pm 0.2^{\circ}C$ และ $\pm 0.4\%RH$ ตามลำดับแสดงดังรูปที่ 10. ที่สภาวะเริ่มต้น 24⁰C และ 75%RH ใช้ เวลาการตอบสนองของอุณหภูมิและความชื้นเข้าสู่สภาวะคงตัวเท่ากับ 63 และ 134วินาที ค่าความคลาดเคลื่อนอยู่ที่ $\pm 0.2^{\circ}C$ และ $\pm 0.6\%RH$ ตามลำดับแสดงดังรูปที่ 11. ที่สภาวะเริ่มต้น 24⁰C และ 74%RH ใช้เวลาการตอบสนองของอุณหภูมิและความชื้นเข้าสู่สภาวะคงตัวเท่ากับ 82 และ 38วินาที ค่าความคลาดเคลื่อนอยู่ที่ $\pm 0.4^{\circ}C$ และ $\pm 0.7\%RH$ ตามลำดับแสดงดังรูปที่ 12. ที่สภาวะเริ่มต้น 24⁰C และ 75%RH ใช้เวลาการตอบสนองของอุณหภูมิและความชื้นเข้าสู่สภาวะคงตัวเท่ากับ 120 และ 96วินาที ค่าความคลาดเคลื่อนอยู่ที่ $\pm 0.4^{\circ}C$ และ $\pm 0.2\%RH$ ตามลำดับแสดงดังรูปที่ 13.

7. สรุป

งานวิจัยนี้ได้พัฒนาต้นแบบระบบควบคุมอุณหภูมิและความชื้นโดยใช้เทอร์โมอิเล็กทริกและชุดกำเนิดไอน้ำ ที่สามารถนำไปประยุกต์ในทางปฏิบัติได้และสามารถสรุปได้ดังนี้

- 1) ระบบควบคุมอุณหภูมิและความชื้นนี้สามารถควบคุมอุณหภูมิได้ตั้งแต่ 15⁰C ถึง 60⁰C และความชื้นได้ตั้งแต่ 40% ถึง 95%RH ซึ่งมีขนาดภายในห้องควบคุม 7x10x7 in³
- 2) ระบบควบคุมอุณหภูมิและความชื้นมีความแม่นยำสูง ให้ค่าความคลาดเคลื่อน $\pm 0.4^{\circ}C$, $\pm 0.7\%RH$

8. กิตติกรรมประกาศ

ผู้วิจัยขอขอบคุณ ห้องปฏิบัติการวิจัยวิศวกรรมเครื่องกลไฟฟ้า สำนักวิจัยการสื่อสารและเทคโนโลยีสารสนเทศ(ReCCIT) ที่ให้การสนับสนุนงานวิจัยนี้

REFERENCES

- [1] สถาบันไฟฟ้าและอิเล็กทรอนิกส์ <http://www.thaieei.com>
- [2] Bell, L., "Increased Thermoelectric System Thermodynamic Efficiency by Use of Convective Heat Transport," Proceedings of 21th Int. Conf. On Thermoelectrics, Long Beach, CA, U.S.A., (2002)
- [3] Stockholm, J.G., "Reliability of Thermoelectric cooling Systems", 10th International Conference on Thermoelectric, 1991, pp. 27-31.
- [4] Stockholm, J.G. and L. Pujol-Soulet, "Prototype Thermoelectric Air Conditioning of a Passenger Railway Coach", 4th International Conference on Thermoelectric Energy conversion, Arlington, USA, 1982, pp. 136-141.
- [5] Stockholm, J.G. and P.M. Schlicklin, "Thermoelectric Cooling Naval Applications", 7th International Conference on Thermoelectric Energy conversion, Arlington, USA, 1988, pp. 235-238.
- [6] Heen, P. and B. Mathiprakasam, "Development of Two-Men TE Microclimate Conditioner for Use in Army Ground-Vehicles", 11th International Conference on Thermoelectric Energy conversion, Arlington, USA, 1992, pp. 181-184.
- [7] Miguel A., R. Palacios and A. Arenas, "Thermoelectric Applied to the Cryoconcentration of Orange Juice", 15th International Conference on Thermoelectric, California, USA, 1992, pp.259-263
- [8] C. Lertsatitthanakorn Experimental study of a thermoelectric ceiling radiant cooling panel 18th ME-NETT
- [9] Ling K V, Dexter A L. (1994), Expert Control of air-conditioning plant, Automatica, 30: 761-773
- [10] D.M. Schwenk. (1989), Single-loop digital controllers in HVAC, ASHREA Transaction, 95:1985-1994